

حذف کادمیم از محلولهای آبی با استفاده از رس پیلارد (PILC) سنتز شده توسط گل قرمز تعديل شده (MRM) و بنتونیت سدیم دار

نسرین محمدیاری^۱

مرتضی رزم آرا^۲

حسین کریمی^۱

(دریافت ۹۰/۶/۱۲ پذیرش ۹۰/۶/۱۲)

چکیده

در این تحقیق برای پیلارینگ رس مورد نظر از عناصر Al ، Cu ، Ti و Fe استفاده گردید. این عاملهای پیلارینگ برای تعديل مونتموریلونیت توسط بر هم کنش های تبادل کاتیونی مورد استفاده قرار گرفت. فاصله های بین صفحه های هنگامی که مونتموریلونیت سدیم دار شد، توسط این عاملهای پیلارینگ تا حد قابل توجهی افزایش یافت. گل قرمز حاصل از تولید بوکسیت با استفاده از روشهای مختلف تیمار و تعديل می تواند به یکی از جاذبهای قوی الاینده ها تبدیل گردد. در این تحقیق از گل قرمز تعديل شده به اضافه رس پیلارد شده برای حذف کادمیم از آب استفاده شد. کمپلکس قرمز تعديل شده و رس پیلارد با استفاده از XRD ، SEM و XRF مشخص و جذب کادمیم در این کمپلکس به عنوان تابعی از pH ، زمان و دما توسط AAS مورد بررسی قرار گرفت. بیشترین میزان جذب در این مطالعه در pH برابر ۶ و دمای ۴۰ درجه سلسیوس بود که میزان جذب تا ۹۶/۶۹ درصد رسید. رابطه ایزوترم های لانگمیر و فروندلیچ به منظور تطابق ایزوترم های جذب، مورد بررسی قرار گرفت. این مطالعه به خوبی نشان داد که کمپلکس گل قرمز تعديل شده و رس پیلارد یک جاذب مناسب به منظور حذف کادمیم از محلولهای آبی است.

واژه های کلیدی: گل قرمز تعديل شده (MRM)، رس پیلارد شده (PILC)، کادمیم، بنتونیت سدیم دار، میکروسکوپ الکترونی روبشی (SEM)

Cadmium Removal from Aqueous Solutions Using Pillared Clay with Modified Red Mud and Na-Bearing Bentonite

Hossein karimi¹

Morteza Razmara²

Nasrin Mohamadyari³

(Received Sep. 03, 2011 Accepted Jan. 29, 2012)

Abstract

A series of clay pillaring agents with Ti, Cu, Al and Fe elements were synthesized. These pillaring agents were used to modify montmorillonite clay by ion-exchange reactions. Clay d-spacings increased modestly when Na⁺-MMT clay was intercalated with these pillaring agents. The modified red mud (MRM) and pillared clay (PILC) complex can be used as a strong absorbent pollutant. In this study, MRM and PILC complex was used for the removal of cadmium from water. The complex was characterized using XRD, SEM and XRF microanalysis and adsorption of cadmium was studied as a function of pH, time, and temperature by AAS method. The maximum adsorption efficiency reached 96.69% when the pH was 6 at 40 °C. Langmuir and Freundlich isotherms equation were used to fit the adsorption isotherms. It is evident from this study that MRM and PILC complex is a suitable material for the uptake of Cd (II) from aqueous solutions.

Keywords: Modified Red Mud (MRM), Pillared Clays (PILC), Cadmium, Na-Bentonite, Scanning Electron Microscopy (SEM).

1. M.Sc. Student of Environmental Geology, Ferdowsi University, Mashhad
(Corresponding Author) H_Karimi1398@yahoo.com

۱- دانشجوی کارشناسی ارشد زمین شناسی زیست محیطی، دانشگاه فردوسی، مشهد
(نویسنده مسئول) H_Karimi1398@yahoo.com (۰۳۱۱) ۳۶۸۷۵۸۵

2. Faculty Member of Geology, Ferdowsi University, Mashhad
3. Manager of Environment, Health and Safety Office of Khorasan Industrial Estates Company, Mashhad

۲- عضو هیئت علمی دانشکده زمین شناسی، دانشگاه فردوسی، مشهد

۳- مدیر دفتر محیط زیست، ایمنی و بهداشت شرکت شهرکهای صنعتی خراسان رضوی، مشهد

۱- مقدمه

تبادل یونی بالایی را به مونتموریلونیت می‌دهند [۷]. بتنوئیت با خاصیت تورم پذیری بالا آب را به خوبی در شبکه خود جذب می‌کند و حجم می‌شود. این افزایش حجم باعث افزایش سطح ویژه بتنوئیت نیز می‌شود و می‌توان از آن به عنوان جاذب استفاده کرد. بتنوئیت به صورت طبیعی و اصلاح شده برای حذف رنگ، آفت‌کش، نیترات، ترکیبات آلی، دارو و فلزات سنگین و غیره مورد استفاده قرار گرفته است [۸-۱۳].

رسها را می‌توان با اصلاح ساختار به جاذبهای بسیار قدرتمند تبدیل کرد. روش فعال‌سازی اسید^۲، یکی از روش‌های شیمیایی تغییر در ساختار رسها است که هم در صنعت و هم در اهداف علمی استفاده می‌شود. این روش شامل عمل آوری^۳ رسها با محلولهای اسیدی مانند اسید کلریدریک یا اسید سولفوریک است. عمل اصلی در تیمار، افزایش نسبی سطح ویژه و تخلخل است [۱۴]. بتنوئیت فعال شده با اسید به بتنوئیت‌های اطلاق می‌شود که ساختار آنها به طور بخشی با تیمار توسط اسیدها تعدیل^۴ شود. بسته به درجه فعال‌سازی^۵ معمولاً کاتیون‌های Ca^{2+} , Mg^{2+} و Na^+ حذف و بخشی از Al , Fe و Mg از شبکه خارج می‌شود. بتنوئیت فعال شده با اسید، سطح ویژه^۶ بالاتر از ۲۰۰ مترمربع بر گرم و حجم وسیعی از ریز‌حفره‌ها^۷ پیدا می‌کند. بتنوئیت فعال شده به بتنوئیت‌هایی که یون‌های Ca^{2+} ترکیب اولیه در لایه‌های میانی آنها، توسط یک فرایند (فعال‌سازی قلیایی) به وسیله یون‌های Na^+ جانشین شده باشد، اطلاق می‌شود. در بتنوئیت‌های سدیم‌دار که لایه‌های میانی عمدهاً توسط یون‌های Na^+ اشغال شده است، معمولاً یون‌های Ca^{2+} و Mg^{2+} نیز در مقادیر متفاوت می‌توانند وجود داشته باشند که باعث می‌شود خواص متمایزی از بتنوئیت‌های کلسیم‌دار پیدا نمایند [۱].

هدف از این تحقیق، بررسی میزان جذب کادمیم از محلولهای آبی با استفاده از گل قرمز تعدیل شده^۸ و رس پیلارد شده^۹ بود.

۲- مواد و روشها

۲-۱- مواد

گل قرمز مورد استفاده در این تحقیق از باطله‌های بوکسیت کارخانه آلومینیوم‌سازی جاجرم تهیه شد. بتنوئیت مورد استفاده نیز از اطراف شهرستان سبزوار تهیه شد. آنالیزهای شیمیایی گل قمز و بتنوئیت

کادمیم، عنصر فلزی سنگین و بسیار سمی است و همانند آرسنیک، جیوه و سرب هیچ‌گونه نقش بیولوژیکی مفیدی در بدن انسان ندارد [۱]. علی‌رغم اینکه کادمیم، آلبیزها و ترکیبات آن بسیار سمی و آلوده کننده محیط زیست هستند، ولی کاربردهای وسیع آنها در صنایع شیمیایی و الکترونیک و دیگر صنایع سبب شده که توجه دانشمندان به یافتن روش‌های مناسب برای تولید و بازیافت این مواد جلب شود. کادمیم با مقدار معمول ۰/۰۶ تا ۱/۱ میلی‌گرم بر کیلوگرم متاخرک‌ترین عنصر سنگین در خاک محسوب می‌شود و برای بیشتر موجودات زنده سمی بوده و میزان آن ۲۰ تا ۲۰۰ بار بیشتر از سایر فلزات سنگین دیگر است [۲]. روش‌های مختلفی برای حذف کادمیم از آب و فاضلاب وجود دارد که عبارت‌اند از: روش‌های رسوب‌دهی با استفاده از هیدروکسید یا سولفید، اسمن معکوس، تبدل یونی، روش‌های بیولوژیکی و جذب سطحی روی مواد جاذب نظیر کربن فعال.

انتخاب نوع روش به عواملی نظیر میزان غلظت کادمیم در فاضلاب یا آب تصفیه نشده، درجه تصفیه مورد نیاز و مسائل اقتصادی بستگی دارد [۳]. سازمان بهداشت جهانی^۱ حداقل میزان روزانه قابل تحمل در بدن انسان را ۰/۰۷ میلی‌گرم بر کیلوگرم تعیین کرده است [۴]. وجود مقادیر بالای این عنصر می‌تواند علایمی نظیر تهوع، مشکلات تنفسی، کم خونی، بیهوشی و انقباض عضلانی را در پی داشته باشد. تماس مداوم با کادمیم باعث ناراحتی‌های کلیوی، نابودی حس بویایی، ناراحتی‌های قلب، تشنج، سلطان پروستات، مثانه و معده می‌گردد. یکی از متداول‌ترین بیماری‌های حاصل از کادمیم، بیماری ایتای ایتای است که نوعی بیماری ناشی از حضور کادمیم در بدن است که در اثر نشت کادمیم از اباشت باطله‌های معادن به رودخانه‌های اطراف به وجود می‌آید [۵].

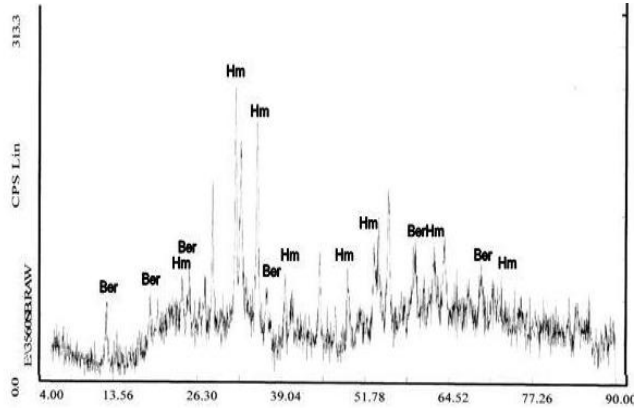
کانی‌های رسی به خاطر خاصیت جذب و غیرمتاخرک کردن آلاینده‌ها، به عنوان موادی در کنترل آلودگی، آفت‌کش‌ها، فاضلابها، دفن و مدیریت باطله‌های هسته‌ایی نقش مهمی دارند. خاصیت مهم کانی‌های رسی، مانند سطح ویژه بسیار بالا، بار لایه‌ای و ظرفیت تورم پذیری، باعث شده که این مواد در پاک‌سازی محیط زیست انسان بسیار سودمند باشند. رسهای حاوی مونتموریلونیت که به عنوان بتنوئیت شناخته می‌شوند، جزء خانواده رسهای با ساختار ۲:۱ هستند که در آنها دو لایه تراهدری و یک لایه اکتاھدری وجود دارد. کانی اصلی در بتنوئیت، مونتموریلونیت است [۶]. کاتیون‌های سدیم، کلسیم، منیزیم قابل تبادل هستند و ظرفیت

¹ World Health Organization (WHO)

² Acid Activated Treatment
³ Modification
⁴ Activation
⁵ Surface Area
⁶ Micropore Volume
⁷ Modified Red Mud (MRM)
⁸ Pillared Clays (PILC)

جدول ۲- ترکیب شیمیایی بنتونیت خام

(w/w) %	اکسیدها
۶۰/۳۸	SiO ₂
۱۴/۷۷	Al ₂ O ₃
۳/۰۹	Na ₂ O
۵/۹۶	Fe ₂ O ₃
۱/۰۴	CaO
۰/۳۵	K ₂ O
۰/۸۰	TiO ₂
۵/۲۲	MgO
۰/۲۲	SO ₃
۷/۶۹	LOI
۲۵ ppm	Cu
۳۶ ppm	Pb



شکل ۱- الگوی (pattern) XRD از نمونه گل قرمز خام

جدول ۳- ترکیب شیمیایی گل قرمز تعدیل شده با اسید

(w/w) %	اکسیدها
۱۹/۹۸	SiO ₂
۱۴/۳۵	Al ₂ O ₃
۰/۳۸	Na ₂ O
۴۰/۸۷	Fe ₂ O ₃
۳/۰۲	CaO
۰/۲۷	K ₂ O
۷/۰۹	TiO ₂
۰/۰۷	SO ₃
۰/۴۳	MgO
۱۲/۴۱	LOI
۱۶۵ ppm	Cu
۶۷ ppm	Pb

برای تهیه نمونه رس پیلارد ابتدا دو نمونه بنتونیت سدیم دار و گل قرمز اصلاح شده با اسید در هاون خرد و از الک ۲۰۰ مش عبور داده شد. بنتونیت سدیم دار شده و گل قرمز اصلاح شده به مقدار مساوی به مدت ۲ ساعت با هم واکنش داده شدند. سپس نمونه

به ترتیب در جدولهای ۱ و ۲ آمده است. همان‌طور که در جدول ۱ نشان داده شده است، گل قرمز شامل مجموعه‌ای از اکسیدهای Fe و Al است. آنالیزهای پراش نگار اشعه ایکس^۱ نشان داد که کانی غالب در این خاک، هماتیت است (شکل ۱). بنتونیت مورد استفاده نیز دارای اکسیدهای سیلیس، آلومینیوم و آهن است و کانی رسی غالب در این نمونه متغیربلونیت است (جدول ۲). برای اصلاح گل قرمز ۵۰ گرم نمونه خاک قرمز وزن، شستشو و در آون، در دمای ۱۱۰ درجه سلسیوس خشک گردید. ۲۰ گرم از رسوب خشک شده نرم شد و با اسید استیک به مدت ۲ ساعت حرارت داده شد و با هم زدن rpm ۵۰۰ در حرارت اتاق به خوبی مخلوط گردید. در مرحله بعد، محلول اضافه بر روی نمونه دکانته و رسوب نهایی با استفاده از کاغذ صافی جدا گردید و دو بار با آب مقطر شستشو داده شد. نمونه توسط کاغذ واتمن ۴۱، فیلتر خلاء و قیف بوخرن فیلتر شده و در آون به مدت ۲ ساعت در دمای ۱۱۰ درجه سلسیوس به خوبی خشک گردید. نتایج آنالیزهای شیمیایی گل قرمز تعدیل شده با اسید در جدول ۳ آمده است.

نمونه بنتونیت نیز ابتدا شستشو و سپس با اسید تعدیل گردید. در این مرحله، نمونه‌ها با ۵۰۰ میلی‌لیتر از محلول ۱ مولار NaCl وارد واکنش شدند. سپس نمونه‌ها فیلتر شدند و در مرحله بعد با آب مقطر شستشو داده شدند. نمونه به کمک سانتریفیوژ، عاری از سیلت گردید. نمونه فیلتر شده در دمای ۱۱۰ درجه سلسیوس و به مدت ۲ ساعت قرار داده شد. سپس نمونه خرد و از الک ۲۰۰ مش عبور داده شد تا برای آنالیز آماده شود. نتایج حاصل از آنالیزهای فلورسانس پرتو ایکس^۲ و XRD در جدول ۴ و شکل ۴ آمده است.

جدول ۱- ترکیب شیمیایی گل قرمز خام

(w/w) %	اکسیدها
۱۳/۰۰	SiO ₂
۱۳/۹۸	Al ₂ O ₃
۴/۲۰	Na ₂ O
۲۲/۱۷	Fe ₂ O ₃
۲۴/۲۵	CaO
۰/۴۲	K ₂ O
۷/۱۷	TiO ₂
۲/۰۱	MgO
۱/۶۳	SO ₃
۹/۵۵	LOI
۱۶۵ ppm	Cu
۳۸ ppm	Pb

^۱ X-ray Diffraction (XRD)

^۲ X-Ray Fluorescence (XRF)

استفاده از دیسک‌های فیوز شده تترابورات لیتیوم انجام گردید. آنالیزهای XRD توسط دستگاه فیلیپس مدل 1800 V با استفاده از $\text{Cu K}\alpha$ در ۴۰ کیلوولت با فیلتر Ni و در ۳۰ میلی‌آمپر به دست آمد. نتایج حاصل از SEM توسط دستگاه لئو^۴ مدل ۱۴۵۰ VP ۲۵۰ نانومتر و بیشینه ولتاژ ۳۵ کیلوولت حاصل گردید. نتایج حاصل از میکروسکوپ الکترونی آکسفورد^۵ مدل ۷۳۵۳ با قدرت تفکیک ۱۳۳ev حاصل گردید. برای انود نمودن نمونه‌ها نیز از مدل SC 7620 Sputter Coater (Au-Pd) استفاده شد.

۳-۲-آزمایش‌های جذب

ابتدا تمامی ابزارهای آزمایش توسط HNO_3 رقیق به خوبی شستشو داده شد تا هرگونه آلودگی رفع گردد. سپس با استفاده از آب مقططر سه بار شستشو و به خوبی خشک گردیدند. برای آماده‌سازی محلول سورن نظر کادمیم برای تست جذب، ابتدا مقدار ۴/۲ گرم از درون یک لیتر آب مقططر ریخته و به خوبی هم زده شد تا محلول ۱ گرم در لیتر از کادمیم مورد نظر به دست آید. این محلول به عنوان محلول مادر کادمیم مورد استفاده قرار گرفت. برای محاسبه درصد جذب کادمیم توسط رس پیلارد، از رابطه ۱ و برای محاسبه میلی‌گرم جرم جذب شده کادمیم در یک گرم جاذب (q_e)، از رابطه ۲ استفاده شد. در نهایت برای تجزیه و تحلیل داده‌های حاصل از آزمایش‌ها از نرم‌افزار Excel استفاده گردید

$$q_e = \frac{(C_0 - Ce)V}{M} \quad (1)$$

$$\frac{C_0 - Ce}{C_0} * 100 \quad (2)$$

که در این رابطه

q_e میلی‌گرم جرم جذب شده کادمیم در یک گرم جاذب، C_0 غلظت اولیه جذب شونده بر حسب میلی‌گرم در لیتر، C_e غلظت ثانویه جذب شونده بر حسب میلی‌گرم، V حجم محلول بر حسب لیتر، M جرم جاذب بر حسب گرم است.

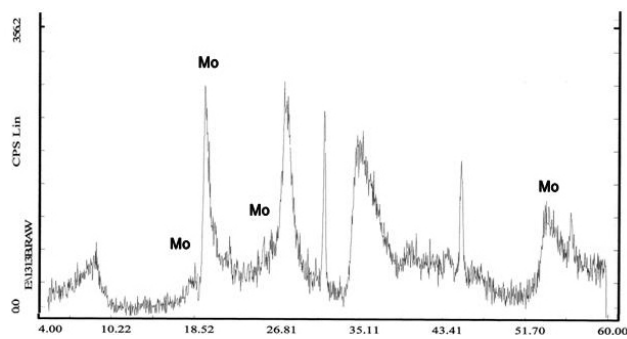
۳-نتایج و بحث

تصاویر حاصل از SEM نشان می‌دهد که استفاده از اسید باعث تغییر ساختار در بعضی کانی‌های موجود در گل قرمز خام شد. سطح خارجی آن زبر شد و فضاهای خالی جدیدی در فرایند تغییر گل قرمز پدیدار گردید. افزایش سطح ویژه توسط اسیدی کردن، یکی از

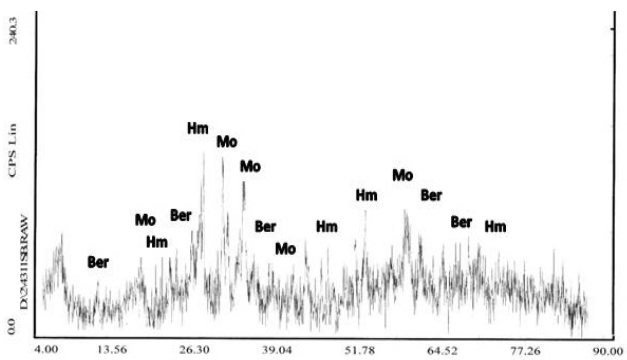
فیلتر و در دمای ۱۱۰ درجه سلسیوس قرار داده شد تا خشک شود. از نتایج بدست آمده از آنالیزهای XRD مشخص شد که کانی‌های غالب در این خاک سنتز شده شامل مونتموریونیت و هماتیت است (شکل ۳).

جدول ۴-ترکیب شیمیایی بنتونیت سدیم دار شده

اکسیدها (w/w) %
۶۰/۶۸ SiO_2
۱۲/۷۴ Al_2O_3
۴/۶۴ Na_2O
۶/۲۷ Fe_2O_3
۰/۲۵ CaO
۰/۲۹ K_2O
۰/۷۸۵ TiO_2
۰/۰۰۲ S_2O_3
۴/۸۱ MgO
۷/۸۷ LOI
۴۰۲ ppm Cu
۱۸ ppm Pb



شکل ۲-الگوی XRD (pattern) از نمونه بنتونیت سدیم دار



شکل ۳-الگوی XRD (pattern) از نمونه رس پیلارد شده

۲-۲-دستگاه‌های مورد استفاده

مقدار آرسنات توسط دستگاه طیف سنج جذب اتمی^۱ واریان^۲ اندازه‌گیری شد. XRF توسط دستگاه فیلیپس^۳ مدل PV 1480 با

³ Philips
⁴ LEO
⁵ Oxford

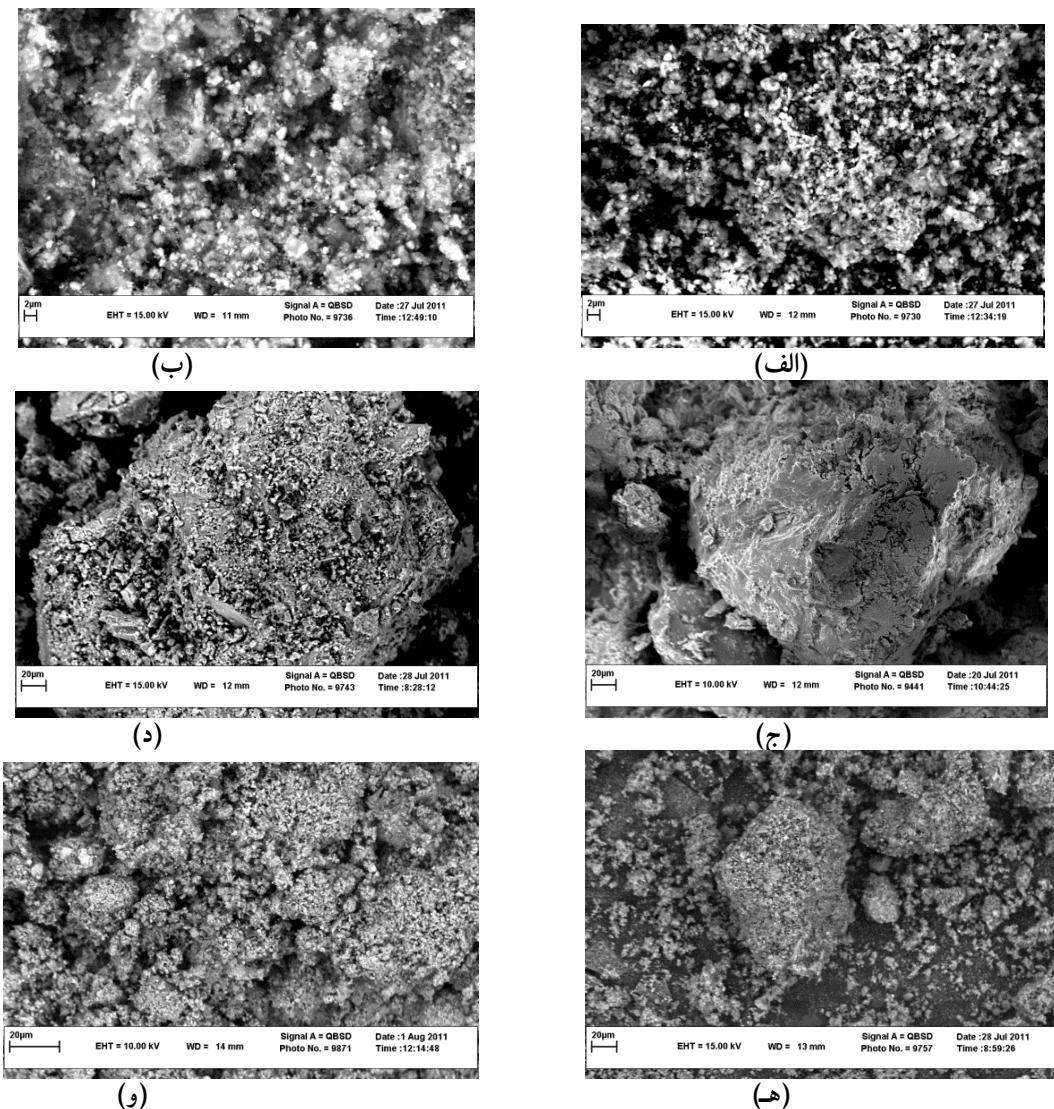
¹ Atomic Absorption Spectrophotometry (AAS)
² Varian aa 042

لایه‌های مونتموریلونیت و افزایش سطح ویژه به خوبی مشخص است. فاصله پیک قاعده‌ای^۱ در بنتونیت خام 14 \AA بوده است که به $19/894\text{ \AA}$ در بنتونیت سدیم‌دار تغییر پیدا کرد.

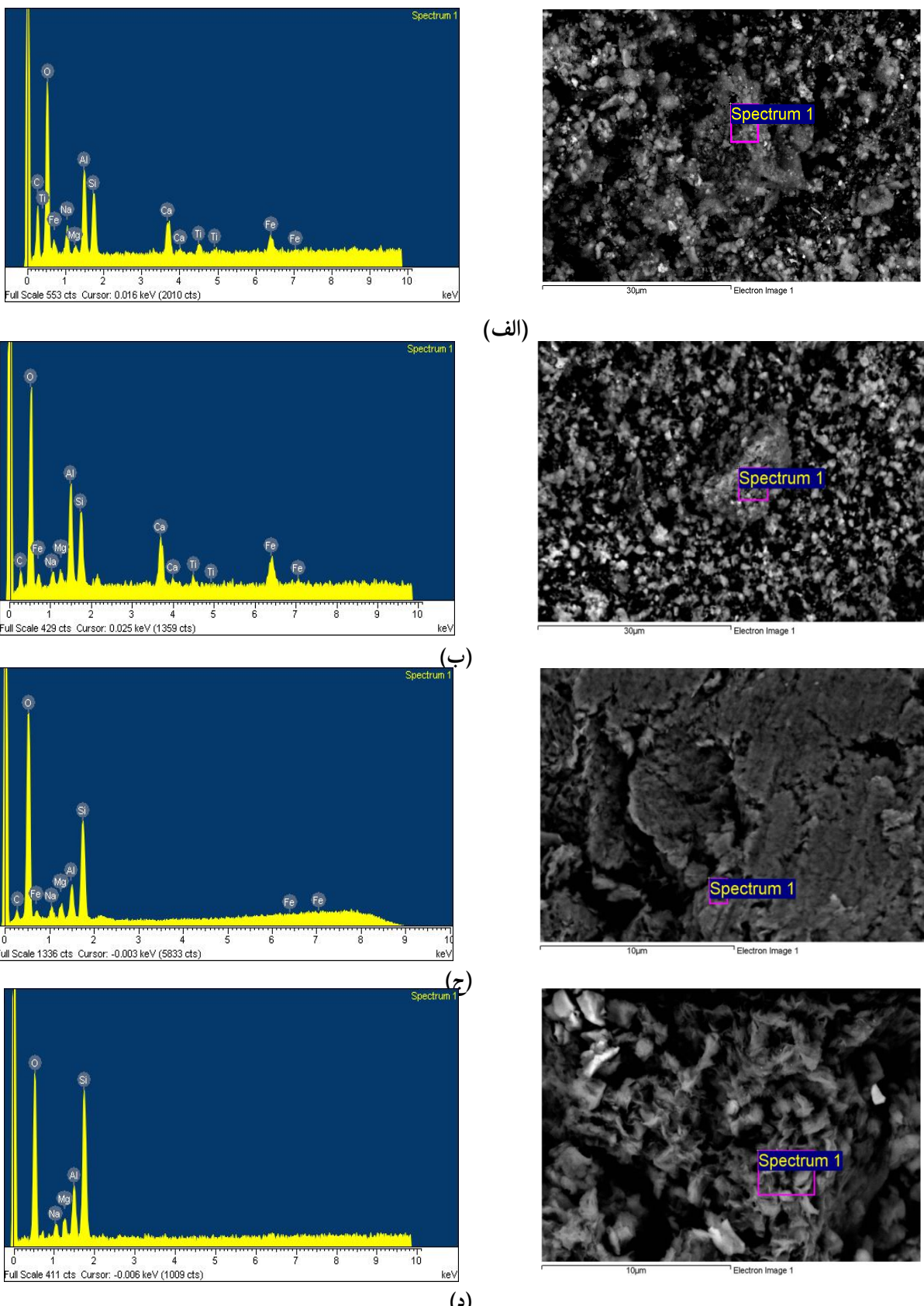
همان طور که در شکل ۴-و مشاهده می‌شود، ذرات نسبت به شکل ۴-ه بسیار روشن‌تر دیده می‌شود. این ذرات روشن، کادمیم‌های جذب شده توسط رس پیلارد شده است. ذرات کادمیم به دلیل جرم اتمی بالاتر بسیار روشن‌تر از آهن و تیتان دیده می‌شوند. همچنین در شکل‌های ۶-الف و ۶-ب که میکروآنالیزهای (EDS) رس پیلارد شده و رس پیلارد جذب کننده کادمیم را نشان می‌دهد، جذب کادمیم به خوبی مشخص شده است.

^۱ d-spacing

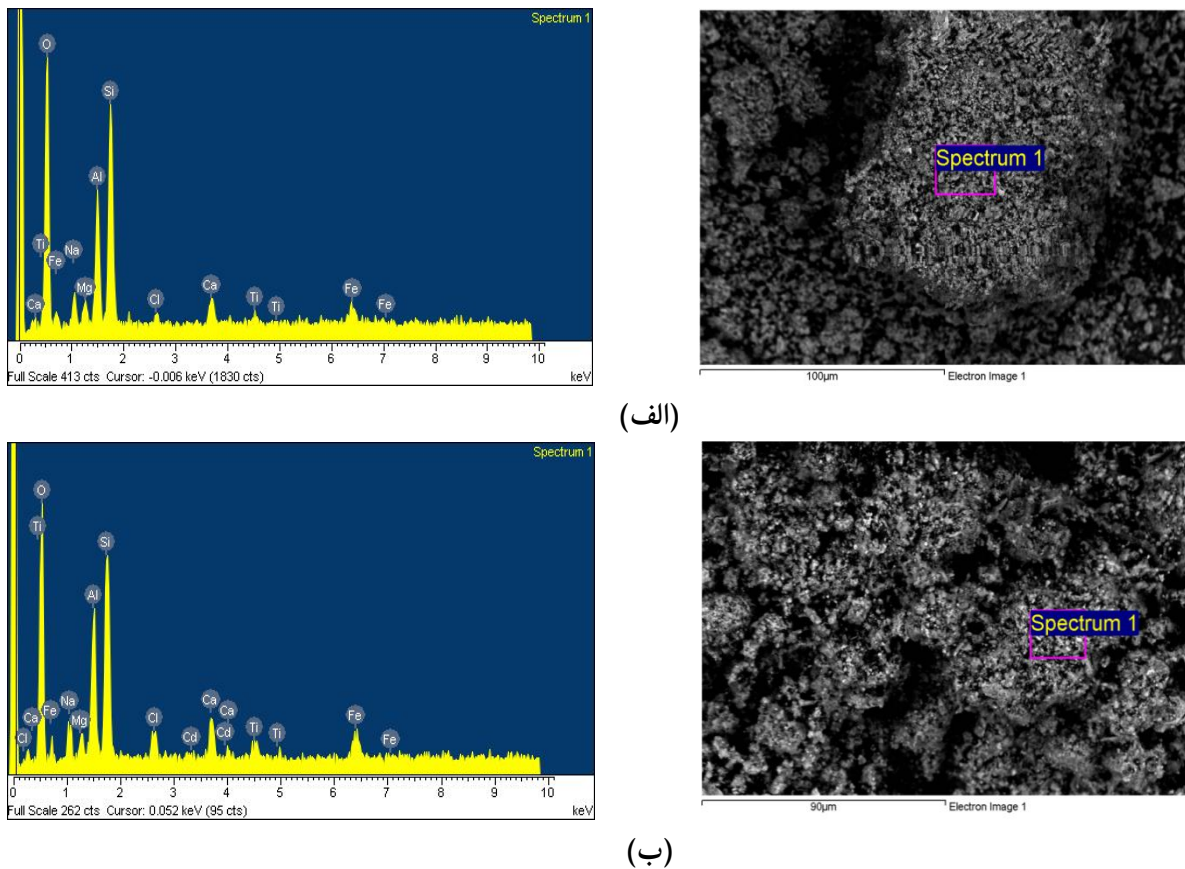
مهم‌ترین تفاوت‌های بین نمونه‌های حاصل از SEM گل قرمز خام و گل قرمز تعديل شده است (شکل ۴-الف و ب). بعد از تعديل، مقدار آهن و تیتان در گل قرمز اصلاح شده افزایش و مقدار کلسیم کاهش پیدا کرد که در نتایج حاصل از آنالیز کیفی SEM با سیستم EDS قابل مشاهده است (شکل ۵). مقدار آهن، تیتان و کلسیم در گل قرمز خام به ترتیب $22/17$ و $24/2$ درصد و در گل قرمز تعديل شده به ترتیب $40/87$ و $3/02$ درصد اندازه‌گیری شد. تصاویر حاصل از SEM، تغییرات ایجاد شده در تعديل بنتونیت خام را هم نمایان کرد. در شکل ۴-ج و ۴-د تفاوت ایجاد شده بین بنتونیت خام و بنتونیت سدیم‌دار به خوبی مشخص است. بنتونیت سدیم‌دار هم در اثر اسیدی شدن با افزایش سطح ویژه و تخلخل همراه بود. در شکل ۴-د نفوذ یون‌های سدیم در بین



شکل ۴- تصاویر حاصل از SEM الف- گل قرمز خام، ب- بنتونیت خام، ج- بنتونیت سدیم‌دار شده، د- رس پیلارد شده، ه- رس پیلارد جذب کننده کادمیم

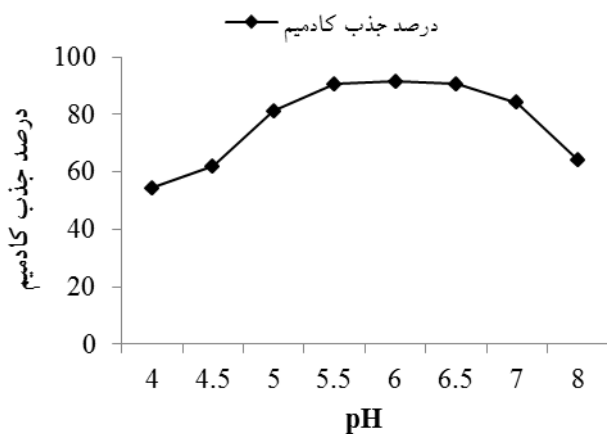


شکل ۵- تصاویر و آنالیزهای حاصل از SEM با سیستم EDS (الف- گل قرمز خام، ب- گل قرمز تغییر شده، ج- بتونیت خام، د- بتونیت سدیم دار شده)



شکل ۶- تصاویر و آنالیزهای حاصل از SEM با سیستم EDS رس پیلارد ، ب- رس پیلارد جذب کننده کادمیم

اقدام به سنجش میزان کادمیم باقیمانده در محلول شد. شکل ۸ اثر حرارت و زمان در میزان درصد جذب کادمیم را نشان می‌دهد.



شکل ۷- درصد جذب کادمیم در بازه pH متفاوت توسط رس پیلارد شده

تأثیر زمان در حذف کادمیم و در مطالعات جذب سطحی بررسی گردید و مشخص شد که با افزایش زمان، درصد حذف افزایش می‌یابد تا جایی که به نقطه تعادل برسد. درصد حذف

برای بررسی تأثیر pH بر میزان جذب کادمیم توسط رس پیلارد، ابتدا غلظت اولیه ۱ میلی‌گرم در لیتر کادمیم آماده شد و با مقدار ۰/۰۰ گرم در لیتر از رس پیلارد در pH های ۳، ۴، ۵، ۶، ۷، ۸ به مدت یک ساعت و در دمای محیط یعنی ۲۳ درجه سلسیوس بررسی گردید. سپس با استفاده از AAS، اقدام به سنجش میزان کادمیم باقیمانده در محلول شد. بهمنظور بررسی اثر pH، HNO₃ و NaOH برای تنظیم pH در گستره‌ای که در بالا ذکر شد، استفاده گردید. شکل ۷ نشان دهنده درصد جذب کادمیم در pH های ۶/۵ تا ۵/۵ بیشترین میزان جذب در محدوده pH برابر ۵/۵ است که در این میان در pH برابر ۶ بیشترین درصد جذب وجود دارد. از pH ۶/۵ به بعد افت جذب به خوبی مشخص است.

برای بررسی تأثیر حرارت و زمان بر میزان جذب کادمیم با استفاده از رس پیلارد، دماهای ۲۳، ۳۰ و ۴۰ درجه سلسیوس در میزان جذب کادمیم مورد بررسی قرار گرفت. برای این منظور واکنش محلول و دز جاذب در زمانهای ۳، ۱۰، ۵۰، ۱۰۰، ۲۰۰، ۵۰۰ و ۱۰۰۰ دقیقه مورد بررسی قرار گرفت. در این مرحله، pH در حد ۶ در نظر گرفته شد. سپس با استفاده از AAS

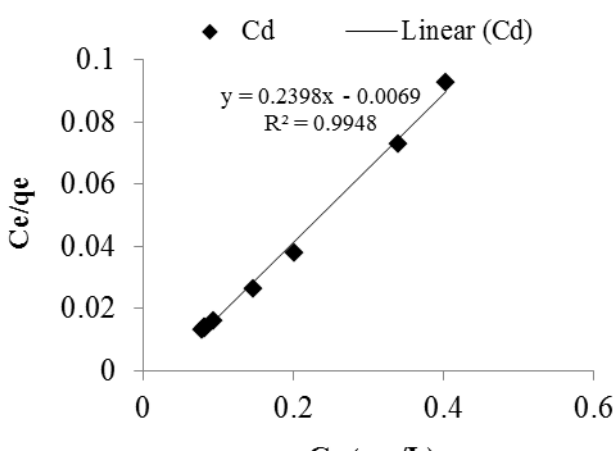
۲- ضخامت لایه جذب شده در تمام نقاط یکسان است.
۳- اگر مولکولی جذب یکی از محلها شد بر قدرت جذب سایر نقاط اثر ندارد.

اگر مسیر رسم شده حاصل از نقاط، خطی شد، مکانیسم جذب بر اساس مدل لانگمیر است در غیر این صورت از آن تبعیت نمی کند^[۱۴]. همان طور که در شکل ۹ مشخص است، درصد جذب در دمای ۳۰ درجه سلسیوس، روند خطی دارد ($R^2 = 0.994$) به که از مدل لانگمیر به خوبی تبعیت می کند. البته هرچه مقدار R^2 به یک نزدیکتر باشد نشان دهنده آن است که مکانیسم جذب از مدل مذبور بیشتر پیروی می کند.

فروندلیچ مدل خود را برابر این اساس در نظر گرفته است که مناطق جذب در جسم جامد، هتروژن (غیر یکنواخت) هستند و قدرت جذب آنها متفاوت است. وی هیچ حدی برای میزان جذب قائل نبوده است و بنابراین مدل خود را به وسیله رابطه $q_e = KC_e^{1/n}$ بیان کرده است که شکل لگاریتمی آن به صورت زیر است

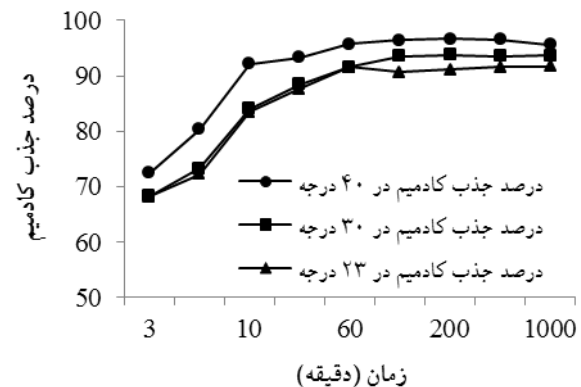
$$\log(q_e) = \log(K) + 1/n \log(C_e) \quad (4)$$

که در این رابطه C_e و q_e همان پارامترهای لانگمیر هستند و n و K ثابت‌های فروندلیچ هستند. اگر مسیر حاصل از رسم نقاط بر اساس $\log(C_e) / \log(q_e)$ خطی باشد، فرایند جذب از مدل فروندلیچ تبعیت می کند^[۱۴]. شکل ۱۰ ($R^2 = 0.994$) نشان دهنده تبعیت روند جذب از مدل فروندلیچ است. این ایزوترم جذب نیز مانند ایزوترم جذب لانگمیر هرچه به یک نزدیکتر باشد، روند جذب بهتری را نشان می دهد.



شکل ۹- مطالعه ایزوترم جذب لانگمیر برای کادمیم جذب شده در دمای ۳۰ درجه سلسیوس

کادمیم در مقابل زمان در شکل ۸ به خوبی نشان داده شده است. این روند جذب تا ۶۰ دقیقه روند افزایشی دارد و در ۶۰ دقیقه تقریباً ثابت می شود و در دقایق بعدی تفاوت فاحشی در میزان جذب مشاهده نمی گردد. حدود ۶۸ درصد جذب در ۳ دقیقه اول اتفاق افتاده و مقدار جذب با افزایش زمان افزایش می یابد. در شکل ۸ مشاهده می گردد که جذب در دماهای مختلف تقریباً روندی مشابه را دنبال می کند ولی بیشترین میزان جذب در ۲۰۰ دقیقه و در دمای ۴۰ درجه سلسیوس و معادل ۹۶/۶۹ درصد است.



شکل ۸- اثر حرارت و زمان در میزان درصد جذب کادمیم

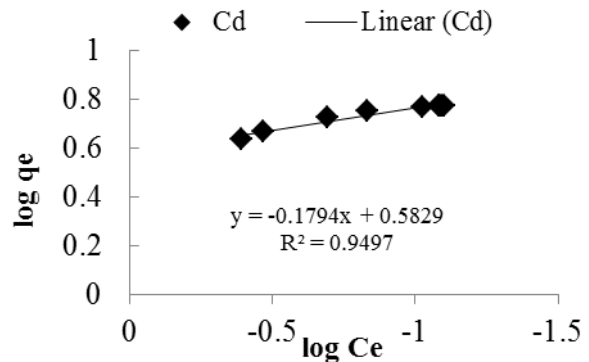
برای مشخص کردن ظرفیت و مکانیسم جذب لازم است که ایزوترم‌های جذب نیز مورد بررسی قرار گیرند. بنابراین بعد از مشخص شدن میزان آرسنات جذب شده و غلظت آن در حالت تعادل، باید منحنی‌های ایزوترم نمونه‌ها بر اساس مدل‌های لانگمیر^۱ و فروندلیچ^۲ رسم و مشخص شود که از کدام مدل پیروی می کنند. شکل ۹ و ۱۰ منحنی‌های ایزوترم جذب و مطابقت آن با مدل لانگمیر و فروندلیچ در دماهای ۳۰ درجه سلسیوس برای نمونه‌های مورد نظر را نشان می دهد. رابطه لانگمیر به صورت زیر است

$$\frac{1}{q_e} = \frac{1}{b} + \frac{1}{ab} * \frac{1}{C_e} \quad (3)$$

که در این رابطه q_e مقدار جزء جذب شده در واحد جرم جاذب بر حسب میلی‌گرم بر گرم و C_e غلظت جزء باقیمانده در فاز سیال (محلول) بر حسب میلی‌گرم در لیتر و a و b ثابت‌های لانگمیر هستند. این مدل بر سه پایه استوار است که عبارت‌اند از:
۱- تمام نقاط دارای توانایی جذب هموزن و یکنواخت هستند و قدرت جذب یکسانی دارند.

¹ Langmuir
² Freundlich

سدیم دار شده نیز در اثر تعدیل با اسید استیک و سپس سدیم دار کردن آن، فضاهای بین لایه‌ای به خوبی افزایش یافت که این امر در میزان جذب، بسیار مؤثر بوده است. در مورد جذب کادمیم از محلولهای آبی بهترین pH برای جذب کادمیم توسط رس پیلارد برابر ۶ بوده است. در محدوده pH ۵/۵ تا ۶/۵ بیشترین مقدار جذب را می‌توان شاهد بود و بعد از pH برابر ۶/۵، روند جذب یک حالت نزولی داشت. بیشترین درصد جذب کادمیم نیز ۹۶/۶۹ درصد بوده است آمد که در دمای ۴۰ درجه سلسیوس و در زمان ۲۰۰ دقیقه واکنش با جاذب حاصل گردید.



شکل ۱۰- مطالعه ایزوترم جذب فرونالیچ برای کادمیم جذب شده در دمای ۳۰°C

۴- نتیجه‌گیری

در تعدیل گل قرمز مورد بررسی مقادیر آهن و تیتان به مقدار قابل ملاحظه‌ای افزایش یافت ولی مقدار کلسیم کاهش پیدا کرد. سطح ویژه نیز به مقدار قابل ملاحظه‌ای افزایش داشت. در بتونیت

۶- مراجع

- 1- Razmara, M., and Ghafoori, M. (1997). *Fundamentals of clay mineralogy*, Published by Ferdowsi University of Mashhad, Kherad Vajeh Publications, Mashhad. (In Persian)
- 2- Merian, E. (1991). *Metals and their compounds in the Environment, Occurrence Analysis and Biological Relevance* UCH, Weintrein, New York.
- 3- Kawamura, S. (1991) *Integrated design of water treatment facilities*, 1st Ed., John Wiley and Sons, Inc., USA.
- 4- WHO. (2000). *Fifty-third report of the Joint FAO/WHO expert committee on food additives*, World Health Organization, Technical Report Series 896, Geneva, Switzerland.
- 5- Godt, J., Scheidig, F., Siestrup, C.G., Esche, V., Brandenburg, P., Reich, A., and Groneberg D.A. (2006). "The toxicity of cadmium and resulting hazards for human health." *J. of Occup. Med. Toxicol*, 1(22), 1-6.
- 6- Bergaya, F., and Lagaly, G. (2006) *Handbook of clay science*, Developments in Clay Science, Vol. 1. Elsevier Ltd., USA.
- 7- Murray, H.H. (1999). "Applied clay mineralogy today and Tomorrow." *J. of Clay Minerals*, 34, 39-49.
- 8- Erdal, E. (2009). "Removal of basic dye by modified Unye bentonite." *Turkey J. of Hazardous Materials*, 162, 1355-1363.
- 9- Eric, J., Davies, D., and Jabeen, N. (2003). "The adsorption of herbicides and pesticides on clay minerals and soils. Part 2. Atrazine." *J. of Inclusion Phenomena and Macrocyclic Chemistry*, 46, 57-64.
- 10- Li, J. (2010). "Removal of nitrate by zero-valent iron and pillared bentonite." *J. of Hazardous Materials*, 174, 188-193.
- 11- Zhu, L., and R., Zhu. (2007). "Simultaneous sorption of organic compounds and phosphate to inorganic-organic bentonites from water." *J. of Separation and Purification Technology*, 54, 71-76.
- 12- Putra, E.K., Pranowo, R., Sunarso, J., Indraswati, N., and Ismadji, S. (2009). "Performance of activated carbon and bentonite for adsorption of amoxicillin from wastewater: Mechanisms, isotherms and kinetics." *J. of Water Research*, 43, 2419-2430.
- 13- Kubilay, S., Gürkan, R., Savran, A., and Şahan, T. (2007). "Removal of Cu (II), Zn (II) and Co (II) ions from aqueous solutions by adsorption onto natural bentonite." *J. of Adsorption*, 13, 41-51.
- 14- Saxena, S., Prasad, M., and Amritphale, S.S. (2001). "Navin chandra adsorption of cyanide from aqueous solutions at pyrophyllite surface." *J. of Separation and Purification Technology*, 24, 263-270.